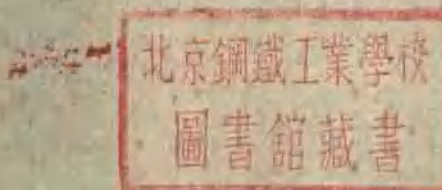


# 金屬壓力加工原理

下册

(軋制原理部分)

H.E. 斯克羅霍多夫 編  
壓力加工教研組 譯



北京鋼鐵工業學院

1957

## 目 錄

- |                        |             |
|------------------------|-------------|
| 第一 章 金屬軋入軋輥的條件和已建成軋制過程 | ( 1 ~14 )   |
| 第二 章 “体积不变方程式和各种軋制系数”  | ( 15~30 )   |
| 第三 章 軋制時的橫變形 ( 寬度架象 )  | ( 31~48 )   |
| 第四 章 軋制時的橫變形 ( 寬展現象 )  | ( 49~58 )   |
| 第五 章 軋制時的縱變形, 前滑和后滑現象  | ( 59~77 )   |
| 第六 章 現代軋制理論的基礎         | ( 78~103 )  |
| 第七 章 單位壓力在軋入弧上的分佈      | ( 104~126 ) |
| 第八 章 在軋制時作用在軋輥上的力的方向   | ( 127~138 ) |
| 第九 章 軋制時金屬作用在軋輥上的壓力    | ( 139~165 ) |
| 第十 章 軋制時的作用力           | ( 166~180 ) |
| 第十一章 軋制時能量的消耗          | ( 181~190 ) |
| 第十二章 傳動軋輥所需之力矩         | ( 191~205 ) |

# 第一章 金屬軋入軋輥的条件和已建成軋制過程

- 內容：
1. 軋制开始时的作用力
  2. 軋輥軋入軋件所需的条件
  3. 方程式  $H-h=D(1-\cos \alpha)$  及其分析
  4. 金属填充变形区域的过程
  5. 剩余摩擦力及將其加以利用的途径
  6. 軋入系数
  7. 各特征角間的关系

現在，我們以下列条件作为研究軋制理論的开端：軋輥是等直徑的柱形軋輥，兩輥均是傳動的，且轉數相同，也就是說該過程是和軋制線相对称的过程。

軋輥的圓週速度等于

$$v = \frac{\pi d n}{60} \text{ 米/秒}$$

軋輥与金属接触的弧  $S$  称为軋入弧（图1）。

对应于弧的中心角称为軋入角，軋入弧的長度为

$$S_\alpha = r\alpha_0 \quad \text{或} \quad S_\alpha = \frac{\pi d \alpha^\circ}{360^\circ} = \frac{\pi r \alpha^\circ}{180^\circ}$$

由軋入弧起点到軋件垂直軸这一部份称为变形区域。

軋入角及軋制前后的軋件厚度与軋輥直徑相互之間有一数学关系。往后我們再來說这一关系。

为了实现軋制过程，必須使軋輥能够軋入軋件，并且金属开始填充軋輥間隙。为此，就必须使軋入摩擦力大于軋入抗力。

把这些作用相反的力比較一下，就可以闡明軋入条件，現在我們着手研究这个问题。

用某一种方法把軋件移至軋輥跟前，並且施以一定的水平力  $Q$  把軋件压到軋輥上面，軋輥只通过  $A, B$  兩点来承受  $Q$  力（图2）。

因此， $Q$  力分解成兩個分力  $P$ ，兩個分力各自通过金属与軋輥的接解点与軋輥中心，由  $Q$  力分解图得知

$$P = \frac{Q}{2 \sin \alpha}$$

在  $P$  力的作用下产生摩擦力  $T_0$ ， $T_0$  与  $P$  成  $90^\circ$  角且作用在与軋輥轉動相反的切線方向上（图3）。送到旋动軋輥跟前的軋件压在軋輥上，由于有摩擦力的作用，軋件阻碍軋輥旋轉並企图制止它們。

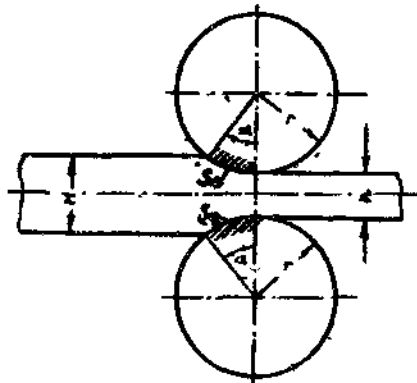


圖 1 軋入角  $\alpha$  和軋入弧  $S_\alpha$

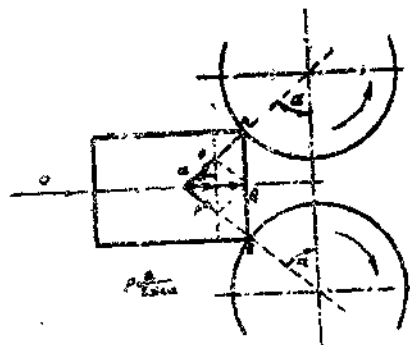


圖 2 Q 力分解為向心力 P

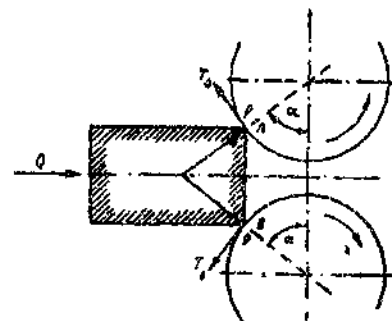


圖 3 在開始軋入時軋件對軋輥的作用

第三图为軋件对軋輥的作用图。

另一方面，按照力学的基本定律（牛頓）兩個物体相互間的作用力，总是大小相等方向相反且作用在同一直線上。因此承受軋件作用力  $P$  与  $T$ ，于自身的軋輥也要以与此对应的压力和摩擦力，反回来作用在軋件上。我們称軋輥对  $P$  力的抗力为反作用力  $R$ ，在反作用力  $R$  的作用下产生摩擦力  $T$ ， $T$  力作用在軋輥轉動的方向上並企图把軋件吸入軋輥的軋隙中（图 4）。

軋件对軋輥的作用力图和軋輥对軋件的作用力图、須要很好的理解和牢牢記住，因为在軋制原理中分析的問題不同，采用的图示也不同。例如在軋輥軋入軋件的問題中，必須取軋輥对金属的作用图（图 4），也就是需要  $R$  和  $T$ 。在研究金属作用在軋輥上的压力問題中必須取用軋件对軋輥的作用图（图 3）也就需  $P$  和  $T$ 。

在解决任何一个軋制問題时取  $R$  和  $T$ ，或  $P$  和  $T$ ，都是不对的，如果这样取法，那么就可能在理論上和實踐中犯很大的錯誤。我們已經指出了基爾赫培尔格（Кирхбрг）关于延伸极限数值的錯誤。基爾赫培尔格的錯誤就是把軋件对于軋輥的作用和軋輥对于軋件的作用混淆起来的結果（图 5）。

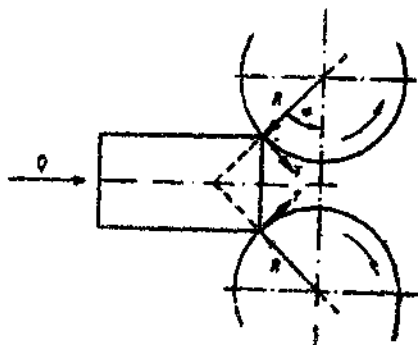


圖 4 在開始軋入時軋輥對軋件的作用

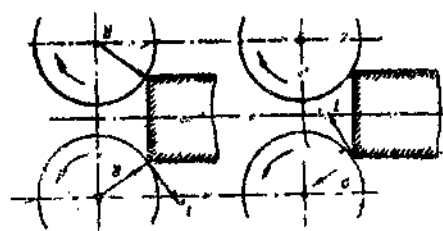


圖 5 開始軋入時力的錯誤作用圖

有关軋制的参考文献中还可以碰到这样的錯誤。我們在研究軋制理論的問題时必須注意到此点，以便力与其相互关系取得正确。

現在我們來說明如何使軋輥軋入軋件的問題。可能有兩種情況：

1. 或是由于摩擦力，轧辊轧入零件，零件进入到轧隙间。

2. 或是如果摩擦力不够大、轧辊要空转、也就是轧辊在金属上面滑动。

对于一个轧辊，此摩擦力等于： $T = fR$ ,

$$\text{但 } P=R, \text{ 因此 } T=Pk, P=\frac{Q}{2 \sin \alpha}, \text{ 因此 } T=\frac{Q}{2 \sin \alpha} \cdot f \quad (1)$$

为了比较  $T$  和  $R$  的作用，必须在一个共同的方向上来研究此作用，因此把  $T$  和  $R$  投影在相应的坐标轴上（图 6）。

这样在轧入时轧辊对金属的作用可归结为四个力  $R_x$ ,  $R_z$ ,  $T_x$  和  $T_z$ 。

$R_z$  和  $T_z$  作用在垂直方向上，当考虑到两个轧辊的作用时，就看到零件是从两端受到压缩，也就是说，这些力是压缩零件的。

$R_x$  反抗金属进入轧辊，而力  $T_x$  在轧制方向上吸引金属。

如果  $R_x > T_x$  不可能轧制

如果  $R_x = T_x$  力互相平衡，不可能自然轧入。

如果  $R_x < T_x$  能够轧制。

一个轧辊的曳力等于：

$$T_x = T \cos \alpha, \quad \text{但 } T=\frac{Q}{2 \sin \alpha} \cdot f$$

$$T_x = \frac{Q}{2 \sin \alpha} \cdot f \cdot \cos \alpha$$

$$T_x = \frac{Q}{2 \operatorname{tg} \alpha} \cdot f$$

对于两个轧辊来说：

$$2T_x = \frac{Q}{\operatorname{tg} \alpha} \cdot f$$

因此把轧辊曳入零件的水平力  $T_x$  的大小首先要决定于  $Q$  力、零件被压到轧辊上面愈强，曳入摩擦力便愈大。除此以外， $T_x$  与摩擦系数成正比而与轧入角成反比。

轧入角愈大，水平曳入力愈小。

如果  $\alpha=90^\circ$  则  $T_x=0$ 。

$$\operatorname{tg} 90^\circ = \pm \infty, \quad \text{因此 } 2T_x = \frac{Qf}{\operatorname{tg} 90^\circ} = \frac{Qf}{\infty} = 0$$

按照轧入角减小的程度，摩擦力  $T_x$  渐渐接近于  $T$  值，当轧入角接近于  $0$  时，则  $T_x \approx T$

我们指出，当  $\alpha \approx 0$  时  $T_x, T, P, R$  急剧增加，这点由对于一个轧辊的等式中可以看出。

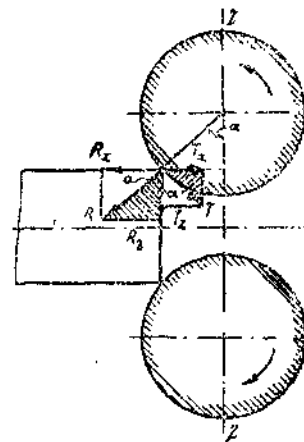


图 6 上轧辊对零件的垂直和水平作用力

$$T_x = \frac{Qf}{2 \tan \alpha} = \frac{Qf}{2 \tan 0^\circ};$$

$$T = \frac{Qf}{2 \sin \alpha} = \frac{Qf}{2 \sin 0^\circ}$$

$$P = R = \frac{Q}{2 \sin \alpha} = \frac{Q}{2 \sin 0^\circ}$$

現在我們求阻止軋件進入軋輥的  $R_x$

$$R_x = R \sin \alpha \text{ (图 6)}$$

$$R_x = R \sin \alpha = \frac{Q}{2 \sin \alpha} \cdot \sin \alpha = \frac{Q}{2} \quad \boxed{R_x = \frac{Q}{2}}$$

對於兩個軋輥來說， $2R_x = 2 \cdot \frac{Q}{2} = Q$ .

因此軋輥在水平方向上的反作用力，就其數值而言總是與送軋件進軋輥的力相等，且方向與其相反。

因此送軋件進軋輥之力愈大，反作用也愈大，另一方面，曳入  $T_x$  力也與送入力  $Q$  成正比地增加，因此得出以下的結論，增加  $Q$  力其實並沒有改善軋入條件。

我們用以下例子說明。

設  $T_x$  和  $R_x$  之間有某一定比例關係，此比例等於：

$$\frac{T_x}{R_x} = \frac{\frac{Qf}{2 \tan \alpha}}{\frac{Q}{2}} = \frac{f}{\tan \alpha},$$

就是說此比例並不直接決定於送入力  $Q$ ，而僅僅決定於摩擦系數與軋入角。

但是在軋制的生產實踐中，我們都知道強力地把軋件壓入軋輥便能改善軋入條件。這是什麼緣故呢？這現象是由於當壓入時（或衝擊軋件的後端）軋入端的邊緣要發生壓皺和磨損，從而減小了軋入角（圖 7）。因此增加送入力可促進軋入，但並不是由於增加了不足的水平曳入力所造成的，而純粹是由於軋件端頭在進入軋輥孔隙時受到了壓皺。

現在我們研究摩擦系數和軋入角之間的關係，我們研究  $T_x$  和  $R_x$  相等時的情況。

$$\frac{T_x}{R_x} = 1 \quad \text{就是說} \quad \frac{f}{\tan \alpha} = 1 \quad \text{或} \quad f = \tan \alpha$$

從上式我們已經看到，當  $T_x = R_x$  時不可能軋入，為了能軋入，必須使  $T_x > R_x$ 。

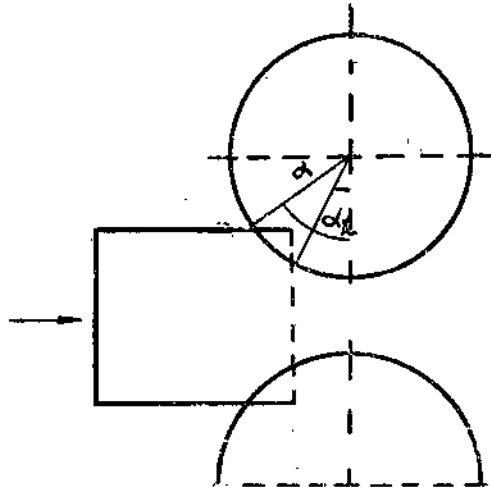


圖 7 軋件邊緣的壓皺和磨損使軋入角減小

$$\frac{T_x}{R_x} > 1 \quad \text{或} \quad \frac{f}{\tan \alpha} > 1, \quad \text{即} \quad f > \tan \alpha$$

因此为了使金属能被轧入轧辊必须使摩擦系数大于轧入角的正切值。显然如果  $T_x < R_x$  就是说  $\frac{T_x}{R_x} < 1$  或  $\frac{f}{\tan \alpha} < 1$  和  $f < \tan \alpha$  便完全不能轧入。

因此可以写出：

当  $f = \tan \alpha$  —— 力互相平衡，不可能自然轧入

当  $f > \tan \alpha$  —— 能轧入

当  $f < \tan \alpha$  —— 不能轧入

在轧制时可能有三种情况。

1. 如果  $R_x > T_x$  或  $\tan \alpha > f$ , 不能轧制；
2. 如果  $R_x = T_x$  或  $\tan \alpha = f$ , 力相互平衡, 不能自然轧入；
3. 如果  $R_x < T_x$  或  $\tan \alpha < f$ , 则能够轧制。

现在我们来求轧入角，轧辊直径和线压缩之间的关系。由第8图中我们得出

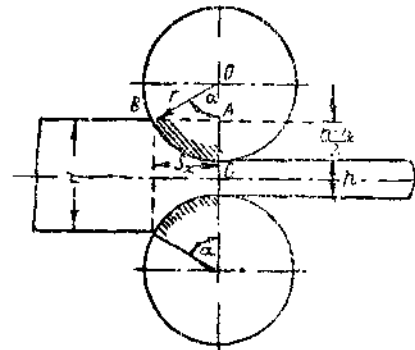


圖 8 軋入角、軋輥直徑與壓下量之間的關係

$$AC = \overline{OC} - \overline{OA} = r - \overline{OA}$$

但線段

$$\overline{OA} = r \cos \alpha$$

線段

$$\overline{AC} = \frac{H-h}{2}$$

因此

$$\frac{H-h}{2} = r - r \cos \alpha$$

由此

$$H-h = 2r - 2r \cos \alpha$$

或

$$H-h = 2r(1-\cos \alpha)$$

$$H-h = d(1-\cos \alpha)$$

$$\Delta h = d(1-\cos \alpha) \quad \text{或}$$

$$\Delta h = 2d \sin^2 \frac{\alpha}{2}$$

如果已知线压缩  $\Delta h$  和轧辊直径，那么很容易求出轧入角。

$$\Delta h = d(1-\cos \alpha) \text{ 由此}$$

$$\cos \alpha = \frac{d - \Delta h}{d} = 1 - \frac{\Delta h}{d}$$

我们把此方程式作某些分析

$$\Delta h = D(1-\cos \alpha)$$

使  $\Delta h = \text{常数}$ , 显然在增加轧辊直径时, 轧入角要减小(图9)。由此得出, 当增加轧辊直径时在摩擦系数相同的条件下可以改善轧入条件(因为  $\tan \alpha < f$  是轧入条件)。

使  $D = \text{常数}$  我们得到  $\Delta h = c(1 - \cos \alpha)$

当增加轧入角时,  $\Delta h$  增加, 使轧入条件变坏。因此在相同直径下增加轧入角时, 压下量便增加(图10)。

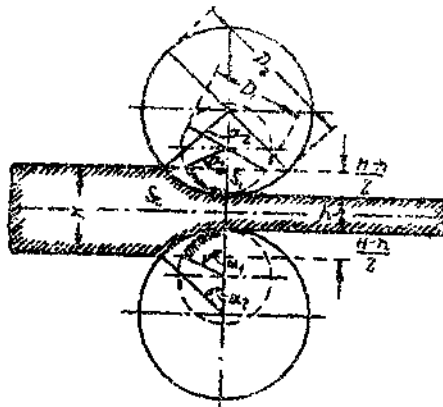


圖9 壓下量不變時軋輥直徑的增加

$$\begin{aligned}D_2 &> D_1 \\ \alpha_1 &> \alpha_2 \\ S_2 &> S_1\end{aligned}$$

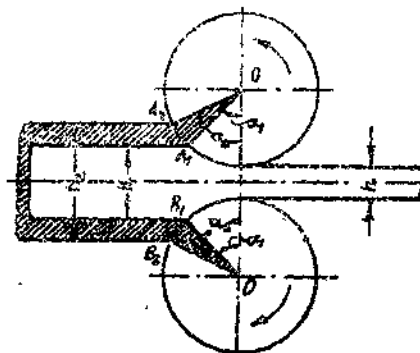


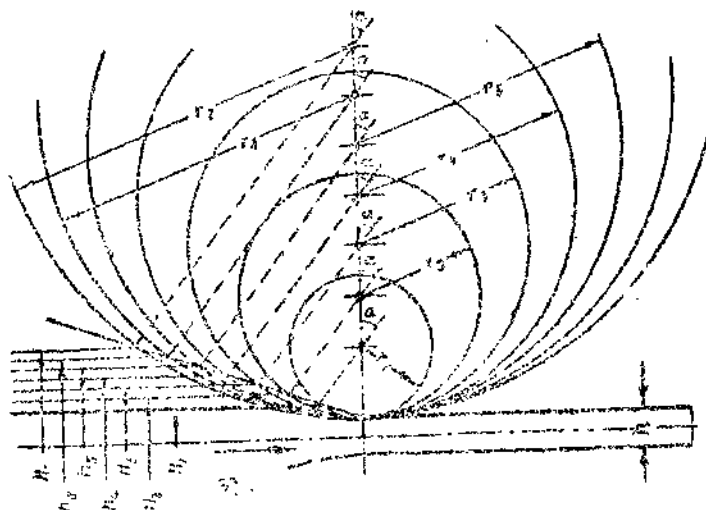
圖10 軋輥直徑一定時壓下量與軋入角間的關係

应该注意到在大轧入角的条件下, 对增加压下量来说, 每一度都起很大的作用, 反之在大轧入角的条件下, 压下量降低, 对于轧入角的减小并没有多大的影响。在孔型设计时要记住这一点。

设  $\alpha = \text{常数}$  在该条件下压下量与轧辊直径成正比

$$\Delta h = D(1 - \cos \alpha) \quad (\text{图11})$$

改善轧入条件的办法有两个。



1. 減小軋入角
2. 增加摩擦系数

第一个办法可按以下的方法来实现。

- a) 增加軋輥直徑;
- b) 減小原始厚度  $H$ ;
- c) 增加最終厚度  $h$ 。

b 和 c 两方法均使压下量减小 ( $H-h=\Delta h$ )，这不是我們所希望的，因为減小了一道中的变形，当然要減低生产率。

改善軋入条件的第二个措施稍后一些再来研究。

说明軋入条件时，我們所作的这些結論，可以用“摩擦角”的概念来简化它。

当物体沿着某平面开始滑动时，此平面的傾斜角称为摩擦角，此时沿着此平面的重力分力等于与它作用相反的摩擦力（图12）。

摩擦角是这样一个角，此角的正切等于摩擦系数。如果有力  $R_x$  作用着，同时引起摩擦力  $T_x$ ，那应当合成  $R_x$  和  $T_x$  时得到合力  $F$ 。

$R_x$  与  $F$  之間的角就是摩擦角—— $\beta$

$$\text{由图 (12)} \quad \tan \beta = \frac{T_x}{R_x} = \frac{R_z f}{R_x} = f$$

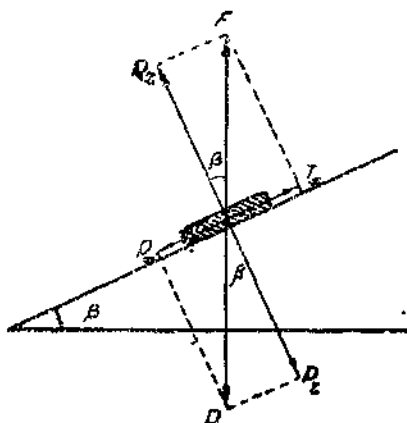


圖12 在斜面上滑動時的摩擦角

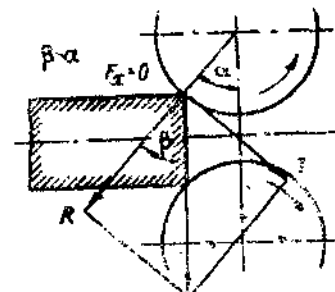


圖13 摩擦角等于軋入角時的情況

現在我們开始講軋制图，有三种情况：

1. 如果  $\alpha=\beta$  (图14) 則合力的方向是垂直的，不可能自然軋入；
2. 如果  $\alpha>\beta$  (图14) 則  $F$  指向軋輥外部，不可能軋入；
3. 如果  $\alpha<\beta$  (图15) 則  $F$  指向軋輥内部，能够軋制。

如果  $\alpha=\beta$  則  $F$  力不能分解为兩個分力  $F_x$  和  $F_z$ ，在此条件下  $F_x=0$  及  $F_z=F$ ，如果  $\alpha=\beta$ ，則  $\tan \alpha=\tan \beta$ ，由此  $f=\tan \alpha$ ，也就是上面我們得到的結論。

如果  $\alpha>\beta$ ，則  $\tan \alpha>\tan \beta$ ，由此  $\tan \alpha>f$ ，在这种情况下  $F_x<0$ ，但是它作用在与軋制过程相反的方向上，就是說阻止軋件进入軋輥。

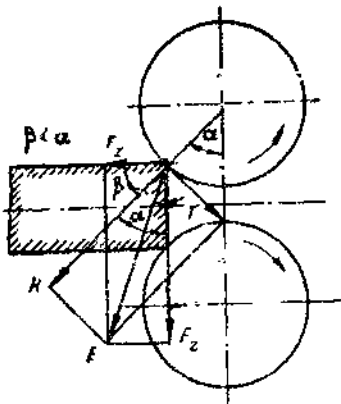


圖14 摩擦角小于軋入角時的情況

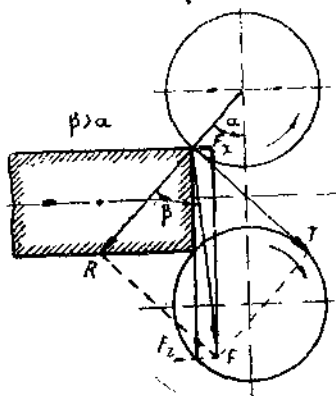


圖15 摩擦角大于軋入角時的情況

如果  $\alpha < \beta$ , 則  $\operatorname{tg} \alpha < \operatorname{tg} \beta$  即  $\operatorname{tg} \alpha < f$ 。

力  $F_x > 0$  而且與軋制的方向一致。

從以上的敘述看到，摩擦系數有那麼大的意義。我們還可以用數值上的例子來說明它的意義。

假使用直徑為 950 公厘的軋輥進行熱軋。如果軋輥是在 180 公厘到 100 公厘的壓下量條件下軋入軋件；我們求其摩擦系數  $f$ ？

我們採用公式  $\Delta h = D(1 - \cos \alpha)$  求軋入角。

$$80 = 950(1 - \cos \alpha); \quad \cos \alpha = 1 - \frac{80}{950} = 0.9158$$

由此

$$\alpha = 23^\circ 40'.$$

已知  $\operatorname{tg} \alpha = f$ , 得  $f = \operatorname{tg} 23^\circ 40' = 0.438$

現在我們求：如果  $f = 0.3$ , 軋輥直徑  $D = 1000$  公厘那麼可將 180 公厘的軋件壓縮到怎樣的數值？

已知  $f = 0.3; \operatorname{tg} \alpha = f = 0.3, \alpha = 17^\circ, \cos \alpha = 0.9563$

$\Delta h = D(1 - \cos \alpha) = 1000(1 - 0.9563) = 43.7$  公厘（代替了在前一情況下的  $\Delta h = 80$  公厘）當摩擦系數為 0.3 時，即使在大直徑的軋輥條件下我們也不能把軋件壓縮得超過 43.7 公厘。

### 金屬填充軋輥間隙過程的研究

我們已經看到，在軋入時產生了作用於軋件上的水平力和垂直力。垂直力對金屬起鍛壓的作用。在這兩迎面鍛壓力的作用下，金屬受到壓擠。如果水平拉入力大於推出力；則金屬被拉入軋隙間。我們用  $\delta$  表示軋件入軋時，其前端與中心線所成的角。

按照軋件進入軋輥的程度， $\delta$  一直是在減小（圖16），在完全填充時，角  $\delta = 0$ 。金屬和軋輥的接觸表面一直是相應地增加。

金屬對軋輥的壓力和軋輥的反作用力決定於沿整個變形區域金屬變形抗力的總和。因此按照金屬填充軋隙的程度，軋入時的力的平衡受到了破壞，這是因為合力  $P$

(以及 R) 已不作用在  $\alpha$  角处。而是作用在靠近中心線的某处。

当金属完全填满辊隙时我們取合力 P (以及 R) 总作用在金属与轧輶接触弧的中心, (以后我們證明之)。

因此按照金属进入轧輶的程度, 合力 P 要移动, 逐渐接近于金属完全填满轧輶时的位置。

合力 P 的作用角的变化由  $\frac{\alpha+\beta}{2}$  确定, 按照金属填满辊隙的程度, 該角由  $\alpha$  角 (当  $\delta=\alpha$  时) 变化到  $\frac{\alpha}{2}$  (当  $\delta=0$  时已建成过程)。

合力 P 向轧輶中心整个角度的位移为

$$\boxed{\frac{\alpha+\delta}{2} - \frac{\alpha+\alpha}{2} = \frac{\alpha}{2}}$$

在金属进入轧輶到某一中間位置时合成 R 与 T 力, 指定 R 与合力 F 之間的角度为  $\beta$  (图17)。

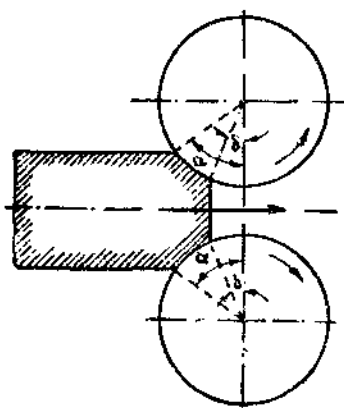


圖16 S 角逐渐減小到零

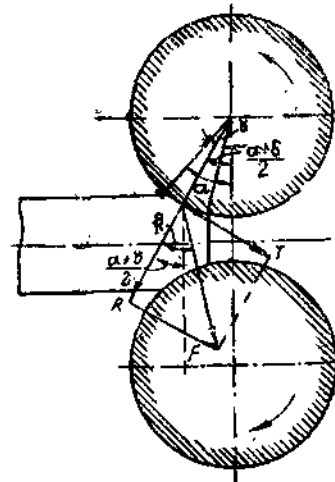


圖17 金屬填充輶隙的階段水平曳入力剩餘的情況

如果該角  $\beta$  符合于自然軋入情况, 則合力 F 离开垂直方向向軋制方向傾斜。

其次, 按照填充的情况, 角  $\frac{\alpha+\delta}{2}$  要繼續減小 (同时它始終應該是与同一不变的  $\beta$  角相比較) 因此合力 F 愈来愈向軋制的一方面傾斜。

按照金属进入轧輶的程度, 摩擦力的工作条件逐渐向有利的一方面变化, 因而轧輶在金属上滑动的可能性不断地減小。

比值 n 与軋入角  $\alpha$  的某种比例关系要适合任意一个中間角  $\frac{\alpha+\delta}{2}$ 。

$$n = \frac{\alpha}{\frac{\alpha+\delta}{2}} \text{ 这里总是 } n > 1$$

$\delta = \alpha$ 时	$n = 1$
$\delta = \frac{\alpha}{2}$ 时	$n = \frac{4}{3}$
$\delta = 0$ 时	$n = 2$

因而:

$$\boxed{\frac{\alpha+\delta}{2} = \frac{\alpha}{n}}$$

可把此角代入曳入力与抗力的平衡条件中(見圖18):  $\frac{\alpha + \delta}{2} = \beta$ , 或  $\frac{\alpha}{n} = \beta$  就是  $\alpha = n\beta$ .

开始轧入时  $n=1$ , 也就是  $\alpha=\beta$ 。

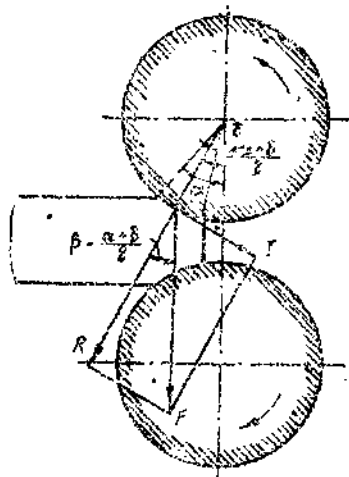


圖18 金屬填充輥隊的階段時水平力成平衡

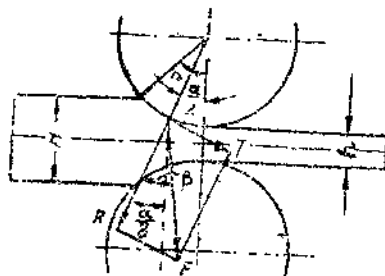


圖19 可能轧制的情况:  $\beta > \frac{\alpha}{2}$

对中间的某一瞬间  $n=1.1$ , 则  $\beta=0.9\alpha$ ,  $\alpha=1.1\beta$ ,

在金属完全填满变形区域时, 我们得到:

$$\delta = 0; n=2, \beta = \frac{\alpha}{2} \quad \boxed{\alpha = 2\beta}$$

以上所述证明: 在已建成过程中当  $\beta > \frac{\alpha}{2}$  时, 摩擦力将要超过推出力 (見圖19)。

如果  $\beta < \frac{\alpha}{2}$ , 则发生轧辊在金属上的滑动 (見圖20)。

如果  $\beta = \frac{\alpha}{2}$  是平衡的情况 (見圖21)。

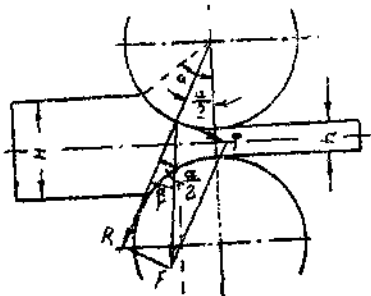


圖20 不可能轧制的情况  $\beta < \frac{\alpha}{2}$

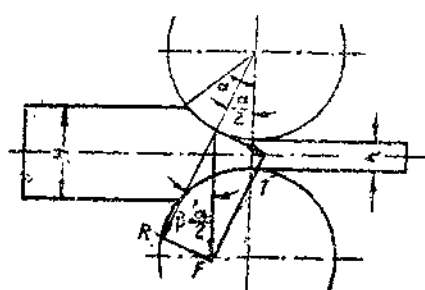


圖21 平衡的情况  $\beta = \frac{\alpha}{2}$

根据某些作者的看法, 金属作用在轧辊上的单位压力分布是不均匀的 (关于这一点, 我们以后要谈到), 并且从入口到出口方向逐渐地减小。

在这种情况下, 合力 P 作用于  $\frac{2}{3}\alpha$  的位置上, 这是应该记住的, 显然在这种情况下, 在已建成过程中  $\beta = \frac{2}{3}\alpha$  或  $\alpha = 1.5\beta$ 。

根据以上的分析可以确定，从开始轧入到已建成轧制过程改变轧制条件的因素为合力  $T$  与垂線（与轧辊中心）所成的傾角，此角从  $\alpha$  到  $\frac{\alpha}{2}$ （或  $\frac{2}{3}\alpha$ ），而傾角減小的发生是由于金属充填变形区域的結果。轧入角  $\alpha$  本身是不变的，在实际中  $\beta$  角（摩擦系数）也是不变的。

在研究轧制过程时，不應該把起始的轧制过程条件和已建成的轧制过程条件混淆起来，某些作者由于混淆了这些条件而犯了严重錯誤。

柯德龙 (Codron) 根据已建成过程的关系  $f = \operatorname{tg} \beta = \operatorname{tg} \frac{2}{3} \alpha$  来确定在不同摩擦系数条件下的可能的压下量  $\Delta h = H - h$  数值，其数据如下：

$f$	0.1	0.2	0.3	0.4
$\Delta h = H - h$	0.015R	0.06R	0.135R	0.24R

这里  $R$  为轧輶半徑。但可能的压下量数值是受着轧入条件  $\beta \geq \alpha$  的限制，而不是受已建成过程条件的限制：应由  $f = \operatorname{tg} \beta \geq \operatorname{tg} \alpha$  的关系来决定，这样得出如下的数值：

$f$	0.1	0.2	0.3	0.4
$\Delta h$	0.00978R	0.0388R	0.08402R	0.14346R

柯德龙的結果超出 1.5 倍。

魏列沙金 (Верещайн) 和維諾格拉多夫 (Виноградов) 教授也犯了同样的錯誤。这一类的錯誤在实际問題上是极其严重的。

由以上所講的可得出怎样的实际結論呢？

我們已确定，为了用轉動的轧制轧入金属，唯一的条件是要使摩擦角  $\beta \geq \alpha$ 。然而在金属填充变形区以后，轧制过程本身所需要的摩擦力只是轧入时所需要摩擦力的  $\frac{1}{2}$  或  $\frac{2}{3}$  因此在已建成过程中获得了剩余的摩擦力，同时它們一直是一道一道地逐渐增加，这是因为压下量随着轧入角相应地減小而減小的缘故。在轧制过程中剩余摩擦力可能增大到十倍。

不可避免地会提到这样两个問題，是利用剩余摩擦力来增加压下量呢？还是防止产生剩余摩擦力呢？前者可用某种人为喂进法，后者则是采用比較光洁的轧輶使金属变形抗力大为減小 ( $p = ak + q$ ) 金属对轧輶的总压力減小及能量消耗降低。

利用已建成过程剩余摩擦力的方法有以下几种：

1. 以錐形或尖头的鋼錠送进轧輶，使  $\alpha$  角和压下量逐漸地增加。
2. 自然轧入后使兩轧輶間距离減小。
3. 借某种另外的機構將軋件压入轧輶，以代替自然轧入。施行上面所指出的措施可能使生产率增加很大，生产率的增加可由  $\alpha = \beta$ ，和  $\alpha = 2\beta$  或  $\alpha = 1.5\beta$  間的差別来决定；也就是说在  $\beta$  一定的条件下，由轧入角  $\alpha$  增加二倍或一倍半来决定。

例如，假設  $f = \operatorname{tg} \beta = 0.3$ ； $d = 800$  公厘； $h = 100$  公厘，

1. 求在軋件軋入軋輥的条件下軋件前端的厚度  $H_1$ ?

已知:  $\beta = \arctan 0.3 = \alpha = 17^\circ$ ;  $H_1 - h = d(1 - \cos 17^\circ)$

由此:  $H_1 = 100 + 800(1 - \cos 17^\circ) = 135$  公厘

2. 在已建成过程中, 确定相当于錐形軋件开始滑动时的厚度  $H_2$

我們取:  $\alpha = 1.5^\circ$ ,  $\alpha = 1.5 \times 17^\circ = 25^\circ 30'$

$H_2 = 100 + 800(1 - \cos 25^\circ 30') = 178$  公厘

压下量差为:  $178 - 135 = 43$  公厘。

利用剩余摩擦力的第二种方法——在轧制过程中增加压下量, 此法对所有轧钢机都具有很大的前途。现在此方法广泛地应用于冷轧板材与带材。这个方法的应用向设计者提出了解决关于制造适合的压下装置的机构问题。

第三种方法——强迫喂钢法, 根据以下情况, 轧件压入轧辊时, 前端受到压皱与磨损, 这时形成一定的接触弧, 合力移近垂线, 同时  $\frac{\alpha + \delta}{2}$  减小, 减小到等于  $\beta$  角时, 就能够使轧件轧入。

### 用試驗方法決定最大軋入角和摩擦係數

用以下的方法求出  $\alpha_{\max}$ 。

把上轧辊压在下轧辊上, 并把试样送到轧辊前; 然后开始渐渐提升上辊。

按照轧辊提升的程度,  $h$  增加及轧入角  $\alpha$  减小, 最后达到轧件开始震颤的时期, 此时轧辊愈来愈激烈地咬住试样, 最后轧入轧件。

这样的时期正好与  $\alpha = \beta$  相符合。其次是计算  $\alpha$ , 并按照  $\tan \alpha = \tan \beta = f$  式求  $f$ 。

你们将在实验室里做这项实验。

对于光辊而言, 最大轧入角的数据为  $\alpha_{\max} = 22^\circ \sim 24^\circ$

对于孔型轧辊而言,  $\alpha_{\max} = 30^\circ \sim 34^\circ$

轧辊的表面状态对轧入角数值的影响很大。

在轧辊有刻痕或锯纹的时候, 与光面辊相比  $\alpha$  角大大地增加。这是很明显的, 由于增加了摩擦系数, 因而增加了  $\beta$  角。刻痕与锯纹的办法在实际中被广泛地采用。同时当然应该注意到轧制品表面良好的问题, 刻痕与锯纹的深度应以不致影响成品表面的质量为限。

现在我们在本章中还要研究一个数值——轧入系数  $\frac{H-h}{d}$

压下量大小与轧辊直径的比称为轧入系数。

如果在方程式  $H-h=d(1-\cos \alpha)$  里给出了轧入角, 那么数值  $(1-\cos \alpha)$  为一定值, 而给予我们一个数值

$$\frac{H-h}{d} \text{ 或 } \frac{0.5(H-h)}{r}$$

这个公式很方便, 因为在摩擦系数为定值时, 可用它根据轧辊直径确定压下量。

对光面辊而言在

$$\alpha = 22^\circ \sim 24^\circ \text{ 时 } \frac{H-h}{d} = \frac{1}{12} \div \frac{1}{13},$$

对有孔型的或有刻痕的轧辊，在

$$\alpha = 30^\circ - 34^\circ \text{ 时 } \frac{H-h}{d} = \frac{1}{7.5} \div \frac{1}{6}$$

在有孔型的轧辊上，孔型壁有很大的作用。

冷轧时的轧入系数：

### 1. 用磨光如镜经润滑的轧辊冷轧

$$\alpha = 3^\circ \div 4^\circ ; \quad \frac{H-h}{d} = \frac{1}{730} \div \frac{1}{410}$$

### 2. 一般轧辊的冷轧

$$\alpha = 5 \div 6^\circ ; \quad \frac{H-h}{d} = \frac{1}{262} \div \frac{1}{182}$$

### 3. 粗糙轧辊的冷轧

$$\alpha \approx 10^\circ ; \quad \frac{H-h}{d} = \frac{1}{65.8}$$

以上的叙述表明，在已建成轧制过程中所产生的摩擦力。约有一半是剩余的，显然应该在另一方式下消耗掉。也许在已建成轧制过程中水平轧制力具有某些其他特性。

详细的分析（关于这点以后再谈）表明，剩余摩擦力是用于形成前滑。

$$S_n = \frac{V_a - V}{V} \cdot 100\%$$

式中  $S_n$  —— 前滑以%表示

$V_a$  —— 轧件出轧辊的速度

$V$  —— 轧辊的圆周速度

显而易见，变形区域中发生前滑的部份，摩擦力要阻碍金属运动，而仅在由轧件入口到成 $\gamma$ 角的某切面所占的变形区部份是有效摩擦力。

该切面称为临界切面， $\gamma$ 角是临界角。

在临界切面以前轧辊速度大于轧件速度，在临界切面内二者速度相等，在临界切面以后轧辊速度小于金属速度。

具有前滑时，轧制力的平衡条件是： $T_{x1} - R_x = T_{x2}$ （图22），此关系指出剩余摩擦力消耗于发生前滑了。

可以近似地认为， $f = \tan \beta \approx \beta$ ； $\sin \frac{\alpha}{2} \approx \frac{\alpha}{2}$ ，并且不将切力与水平力加以区别，

假定  $T_{x1}$ ,  $R_x$  与  $T_{x2}$  采用以下关系确定（对于  $\beta = 1$  而言）

$$T_{x1} = (\alpha - \gamma) P \beta \quad R_x = P \alpha \sin \frac{\alpha}{2} = P \frac{\alpha^2}{2}$$

$$T_{x2} = P \gamma \beta \text{ 则可以写为 } (\alpha - \gamma) P \beta - P \frac{\alpha^2}{2} = P \gamma \beta$$

由此

$$\alpha - 2\gamma = \frac{\alpha^2}{2\beta} \quad \text{或} \quad \gamma = \frac{\alpha}{2} \left( 1 - \frac{\alpha}{2\beta} \right)$$

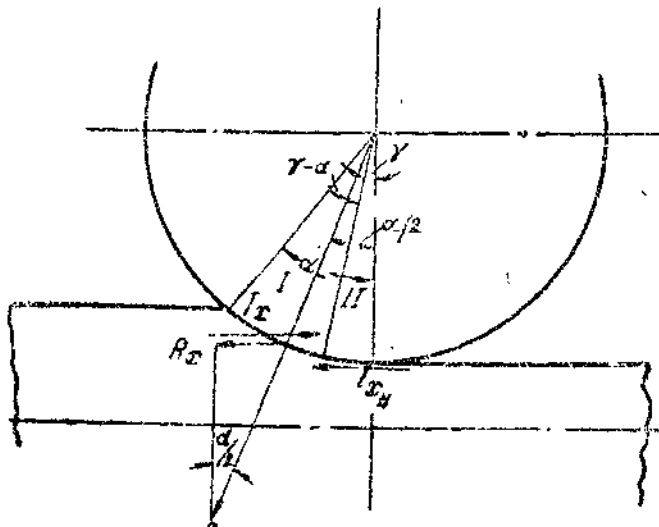


圖22 水平軋制力的平衡圖

此式是軋制的基本关系式，表示三个特征角：軋入角；摩擦角  $\beta$ ；与临界角  $\gamma$  之间的关系。

我們看出，当剩余摩擦力很大时，比值  $\frac{\alpha}{2\beta}$  变得很小，且  $\gamma$  角趋近于它的最大限度  $\gamma_{max} = \frac{\alpha}{2}$ 。

若在  $\beta = \alpha$  的条件下发生軋入，则在已建成过程中

$$\gamma = \frac{\alpha}{2} \left(1 - \frac{\alpha}{2\beta}\right) = \frac{\alpha}{2} \left(1 - \frac{\alpha}{2\alpha}\right) = 0.25\alpha = 0.25\beta.$$

这样，由軋入 ( $\alpha = \beta$  条件下) 过渡到已建成过程时解放出一半摩擦力，並且决定了在变形区四分之一部份发生前滑。最后，如果将数值  $\beta = \frac{\alpha}{2}$  (已建成过程条件) 代入基本关系式中得出，沒有前滑存在。

$$\gamma = \frac{\alpha}{2} \left(1 - \frac{\alpha}{2\beta}\right) = \frac{\alpha}{2} \left(1 - \frac{\alpha}{2 \cdot \frac{\alpha}{2}}\right) = \frac{\alpha}{2} \cdot 0 = 0,$$

此式清楚地指出，剩余摩擦力，都耗費于形成前滑。

在前滑区中摩擦力轉变成摩擦阻力的这一現象也同样証明基爾赫培尔格关于极大延伸是 2 的錯誤論証。

在以下几章里將对前滑現象作更为詳細的研究。

### 參 考 書

И.М. 巴甫洛夫 “軋制原理” 1950 年版 383 頁 § 25。

И.М. 巴甫洛夫 “軋制原理與金屬塑性變形原理” 1938 年版第四章。

Б.П. 巴赫基諾夫 Бахтинов 和施捷爾諾夫 Штернов 著 “軋輥孔型設計” 1953 年版第一章 § 1,2,3,4,5。

## 第二章 “体積不变方程式和各种轧制系数”

- 內容:**
1. 各种轧制系数間的关系
  2. 引起轧制进程中变形降低的原因
  3. 变形在各道次分佈的方法
  4. 对于基尔赫培尔格和也茲 (жез) 的变形在各道次分佈方法的批判
  5. 轧制中的总延伸率, 局部延伸率和平均延伸率

在塑性变形原理的兒童里, 我們已經研究过关于金属塑性变形时体积不变的定律, 在数学上可將該定律写成如下的几个形式:

$$\textcircled{1} \quad V_1 = V_2 \quad \textcircled{2} \quad HLB_1 = hLB_2 \quad \textcircled{3} \quad \mu\beta\gamma = 1$$

$$\textcircled{4} \quad \ln \frac{h}{H} + \ln \frac{b}{B} + \ln \frac{l}{L} = 0 \quad \textcircled{5} \quad \delta_1 + \delta_2 + \delta_3 = 0$$

运用該定律, 我們能把变形前后的尺寸連系起来, 並且能够进行許多很重要的計算。

在本章內, 我們便是根据体积不变定律來研究关于用轧輥轧制的方法使金属变形的几个重要理論。

我們已經知道, 高度 变形  $\frac{H}{h}$  用

$$\frac{H}{h} = \frac{B_2}{B_1} \cdot \frac{L_2}{L_1}$$

式子与縱变形和橫变形連系起来。在变形双曲線上巴甫洛夫 (Павлов) 已給出了 縱变形和橫变形間的关系, 我們並且知道, 是反比例的关系。

轧制的目的就是要金属在向長度上延伸, 因此寬展是不利的, 因为軋件寬度增加, 就要減小它的延伸率。因此縱轧时必需采取減少寬展的措施。

軋件的延伸率用三种方法决定。

$$\mu = \frac{L_2}{L_1}; \quad \mu = \frac{HB_1}{hB_2}; \quad \mu = \frac{H}{h} \left( \text{当 } \frac{B_2}{B_1} = 1 \text{ 时} \right)$$

这些問題都是我們已經知道的, 为了重新記憶起它們, 我們把这些問題再簡要地复习一遍。

現在我們來討論轧制中表示变形的几种数值。

### 高度上的線壓縮和相对變形

假設在轧入角一定时, 我們得到的压下量为  $H - h = 20$  公厘。

若轧制两个軋件, 第一个軋件的高度  $H_1 = 200$  公厘, 第二个軋件的高度  $H_2 = 40$  公厘, 轧制后我們相应地得到高度  $h_1 = 180$  公厘和  $h_2 = 20$  公厘。

在寬展  $\Delta b = 0$  时; 延伸率为: